

三次元表層水平噴流の乱流特性

東北大学工学部 正会員 岩崎 敏夫
東北大学大学院 学生員 田中 博通

1. はじめに 三次元表層水平噴流の平均的な取扱いに関しては既に報告した。¹⁾²⁾ 今回はその乱流特性について研究を行なった。

2. 実験装置及び実験方法 実験は $4.7\text{m} \times 5.0\text{m} \times 0.5\text{m}$ の実験水槽と $1.0\text{m} \times 5.0\text{m} \times 0.5\text{m}$ の貯水槽及び $0.8\text{m} \times 1.0\text{m} \times 0.8\text{m}$ の高水槽から構成された平面水槽を用いて行なった。放出口は $5.0\text{cm} \times 5.0\text{cm}$ の正方形である。初期平均流速は 20cm/sec ($Re = UB_0/\nu = 10000$) とし、流速測定には Hot Film 流速計を用いた。ここで、放出口の中心を原点とし、流下方向に x 軸、水深方向に z 軸それらに直角に y 軸とする。測定点は $x=50\text{cm}$, $z=0\text{cm}$ の $x-y$ 面と $x=10\text{cm}, 30\text{cm}, 50\text{cm}$, $y=0\text{cm}$ の $x-z$ 面である。データ処理に際して、サンプリング間隔は 0.05秒 、データ総数は 2000 個である。

3. 結果及び考察 図-1は $\sqrt{u^2}/\bar{U}_{max}$ とり (y , z を半価幅 b_y , b_z で無次元化したもの) この関係である。流程が増すにつれて乱れ強さはいくぶん大きくなる傾向があり、ピークは最大流速勾配となる $\eta = 0.85$ の付近に生じている。また、噴流軸上 ($\eta = 0.0$) での乱れ強さは流程が増すにつれて大きくなる。 $x=10\text{cm}$ において $\eta < 0.5$ のときはボテンシャル・コア内であり、拡散領域に比べて乱れ強さがかなり小さいことがわかる。

図-2は $\sqrt{v^2}/\bar{U}_{max}$, $\sqrt{w^2}/\bar{U}_{max}$ とりとの関係である。これも流程が増すにつれて乱れ強さが大きくなる傾向があり、噴流軸上の値も同様な傾向がある。また、 $x=10\text{cm}$ のボテンシャル・コア内では乱れ強さがやや小さいことがわかる。図-1と図-2より三次元表層水平噴流は、非等方性であるといえる。

図-3は Reynolds応力 τ との関係である。流程が増すにつれ相対値が大きくなる傾向があり、ピークは η が約 1.0 付近となった。 $x=50\text{cm}$ の $x-y$ 面、 $x-z$ 面において同様な値となり、また噴流軸上において 0 ならないのは、比較的 Reynolds 数が小さな噴流であるため流れに揺らぎが生じているためである。ボテンシャル・コア内では Reynolds応力を小さい。

図-4は、次式で定義される τ に関しての積分特性時間である。

$$\tau = (1/\bar{U}^2) \int_0^\infty R(\tau) d\tau$$

ここでは、自己相關がはじめて負となるまでの値まで積分して求めた。流程が増すにつれ、全体的に大きくなる。また、 τ が大きくなるにつれ積分特性時間も大きくなる。これは、渦のスケールが大きくなること、平均流速が小さくなるためである。 $x=50\text{cm}$ の $x-y$ 面、 $x-z$ 面において同じような Time-scale となった。

図-5は、 U , V , W に関する積分特性時間である。 U 同様、流程が増すにつれ大きくなり、 τ が大きくなるにつれて大きくなる。 U に比べやや小さいことがわかる。 U , V , W とも全断面において、 τ が 0.5 より小さいときは

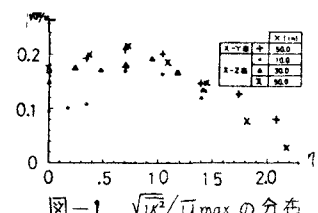


図-1 $\sqrt{u^2}/\bar{U}_{max}$ の分布

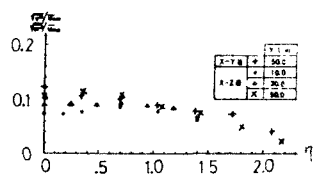


図-2 $\sqrt{v^2}/\bar{U}_{max}$, $\sqrt{w^2}/\bar{U}_{max}$, $\sqrt{u^2}/\bar{U}_{max}$ の分布

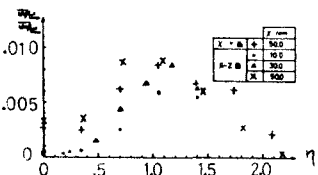


図-3 Reynolds stress τ の分布

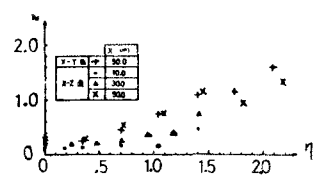


図-4 積分特性時間 (τ) の分布

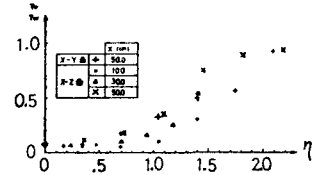


図-5 積分特性時間 (τ) の分布

ぼ一一定である。また、ポテンシャル・コア内では、 U' , W' とも小さな値となる。

図-6は次式で定義される U に関するSkewness factorである。

$$S.F. = \overline{U^3} / (\overline{U^2})^{3/2}$$

η が0.7までは、Gauss分布の0に近い正・負の非対称性になり、 $\eta > 0.7$ からは各断面とも正の非対称となり $U' > 0$ が卓越する。また、Skewness factorは直線的に増大することがわかる。

図-7は U' , W' に関するSkewness factorである。噴流軸付近においても各断面とも正の非対称となり、 η が大きくなるにつれて Skewness factorは大きくなる。 $x=50\text{cm}$ の $X-Z$ 面においては周辺部にいくと再び Gauss 分布に近づく傾向がある。全般に、 U' , W' は U よりも正に非対称な確率分布となる。

図-8は次式で定義される U に関するFlatness factorである。

$$F.F. = \overline{U^4} / (\overline{U^2})^2$$

$\eta < 1.0$ まではGauss分布の3.0付近の値になり、 $\eta > 1.0$ となると Flatness factorが大きくなることから分布形は尖り、平均流速附近に集中することがわかる。

図-9は U' , W' に関するFlatness factorである。 $\eta < 0.7$ のときは3.0付近の値になり、 $\eta > 0.7$ となると Flatness factorが大きくなる。全体的にいよりも尖った確率分布となり、大きな変動がない。

図-10は $x=30\text{cm}$ の $X-Z$ 面における U のスペクトルである。 η が大きくなるにつれ、全体的にエネルギーレベルが小さくなり、高周波側においてエネルギー勾配が急になる傾向がある。低周波側においては、 η が大きくなるにつれエネルギーレベルが大きくなる。

図-11は $x=30\text{cm}$ の $X-Z$ 面における W のスペクトルである。 $\eta < 0.7$ までは同様なスペクトル形となる。 $\eta > 0.7$ においては η が大きくなるにつれてエネルギーレベルが小さくなり、高周波側においてエネルギー勾配が急になる傾向がある。 U のスペクトルよりも W のスペクトルの方がエネルギー勾配が緩やかである。

最後に、本研究に協力された元東北大工学部助手松川正彦氏、ならびに4年生の長久保重利氏、半沢綾氏に感謝致します。

参考文献 >

- 1) 岩崎敏夫・松川正彦・田中博通：表層水平噴流に関する研究，東北支部技術研究発表会，pp. 133～134，1977
- 2) 岩崎敏夫・田中博通：三次元表層水平噴流に関する研究，第24回海講論文集，pp. 524～528，1977

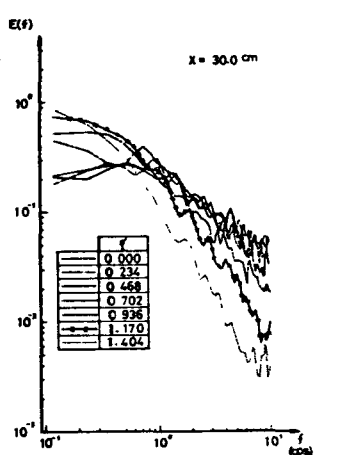
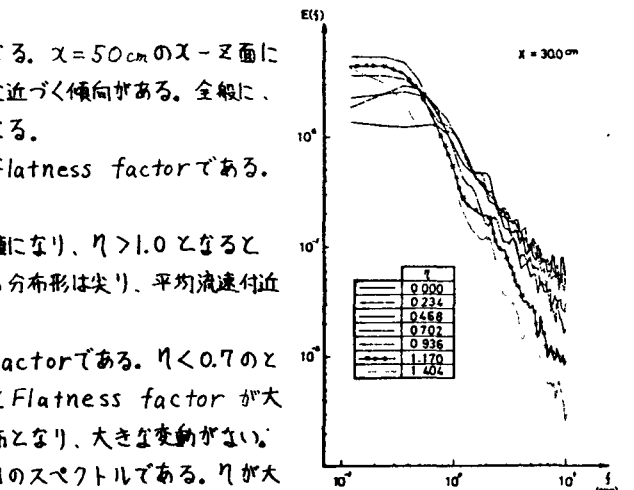
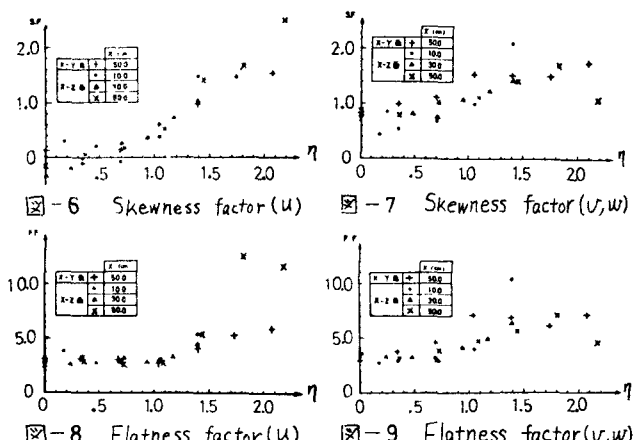


図-11 スペクトル(w) $X-Z$ 面